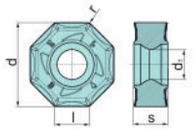
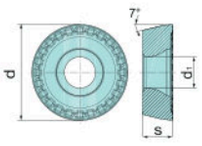
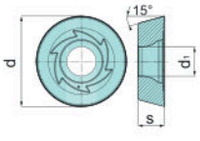
Bild & Zeichnung Image & Drawings	Artikelbezeichnung Item Code	Schneidstoffsorte Cutting materials	Bestell-Nr. Order No	Verfüg. Availability	Abmessungen [mm] Dimensions [mm]				
					l	d	s	d_1	r
  N = 16	ONMU 050608 TM-NR	HAP25M	2179200	•	5	12,7	5,8	5,45	0,8
	ONMU 050608 TM-NR	HAP35M	2179300	•	5	12,7	5,8	5,45	0,8
	ONMU 050608 TM-NN	HAM35M	2179100	•	5	12,7	5,8	5,45	0,8
	ONMU 050608 TM-NN	HAM40M	2179000	•	5	12,7	5,8	5,45	0,8
	ONMU 050608 TM-NK	HAK15M	2178800	•	5	12,7	5,8	5,45	0,8
	ONMU 050608 TM-NK	HAK20M	2178900	•	5	12,7	5,8	5,45	0,8
	ONMU 050608 TM-OH	HAH05M	2178600	•	5	12,7	5,8	5,45	0,8
	ONMU 050608 TM-OH	HAH10M	2178700	•	5	12,7	5,8	5,45	0,8
	ONMU 080608 TM-NR	HAP20M	2179800	•	8	19	6,95	6,75	0,8
	ONMU 080608 TM-NR	HAP25M	2179900	•	8	19	6,95	6,75	0,8
	ONMU 080608 TM-NR	HAP30M	2180000	•	8	19	6,95	6,75	0,8
	ONMU 080608 TM-NR	HAP35M	2180100	•	8	19	6,95	6,75	0,8
	ONMU 080608 TM-NN	HAM35M	2179600	•	8	19	6,95	6,75	0,8
	ONMU 080608 TM-NN	HAM40M	2179700	•	8	19	6,95	6,75	0,8
	ONMU 080608 TM-NK	HAK15M	2179400	•	8	19	6,95	6,75	0,8
	ONMU 080608 TM-NK	HAK20M	2179500	•	8	19	6,95	6,75	0,8
  N = 8	RCMX 2006 M0-DP	HAP30M	2138700	•	-	20	6,35	6,5	-
	RCMX 2006 M0-DP	HAP35M	2138800	•	-	20	6,35	6,5	-
	RCMX 2006 M0-DP	HAP40M	2138900	•	-	20	6,35	6,5	-
 	RDKT 12T3 MOS-NR	HAP20M	2141300	•	-	12	3,97	3,9	-
	RDKT 12T3 MOS-NR	HAP25M	2141400	•	-	12	3,97	3,9	-
	RDKT 12T3 MOS-NR	HAP30M	2141500	•	-	12	3,97	3,9	-
	RDKT 12T3 MOS-NR	HAP35M	2141600	•	-	12	3,97	3,9	-
	RDHT 12T3 MO-NN	HAM35M	2139000	•	-	12	3,97	3,9	-
	RDHT 12T3 MO-NN	HAM40M	2139100	•	-	12	3,97	3,9	-
	RDKT 12T3 MOS-NN	HAM35M	2141100	•	-	12	3,97	3,9	-
	RDKT 12T3 MOS-NN	HAM40M	2141200	•	-	12	3,97	3,9	-
	RDHT 12T3 MO-NU	HAS35M	2139200	○	-	12	3,97	3,9	-
	RDKT 1604 MOS-NR	HAP20M	2141900	•	-	16	4,76	5,2	-
	RDKT 1604 MOS-NR	HAP25M	2142000	•	-	16	4,76	5,2	-
	RDKT 1604 MOS-NR	HAP30M	2142100	•	-	16	4,76	5,2	-
	RDKT 1604 MOS-NR	HAP35M	2142200	•	-	16	4,76	5,2	-
	RDKT 1604 MOS-NN	HAM35M	2141700	•	-	16	4,76	5,2	-
	RDKT 1604 MOS-NN	HAM40M	2141800	•	-	16	4,76	5,2	-
	RDHT 1604 MO-NU	HAS35M	2139300	○	-	16	4,76	5,2	-